

水資源開発公団 正員 為沢 長雄  
 京都大学工学部 正員 中川 博次  
 京都大学工学部 正員 祐津 家久

## 1. まえがき

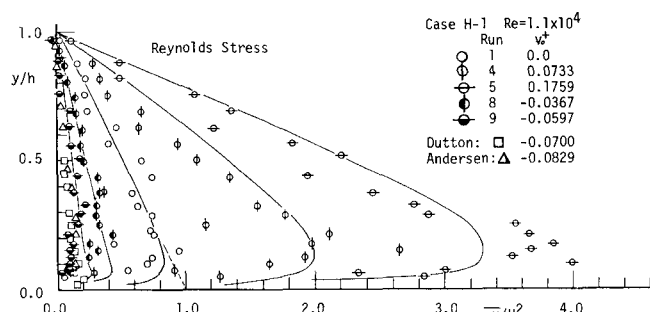
自然河川は、浸透層を有しつつ移動床粗面を境界としているのが普通であるが、この乱流構造を最初から解明しようとすることは理論的・実験的に非常に困難であり、筆者らは不浸透性の滑面及び粗面からはじめて、浸透層上の流れへと系統的に研究を進めて来た。一方、この浸透層壁面を通して流体の出入りがあるポーラス乱流の研究は、熱管保護や流れのはく離防止等の実用的な目的から、機械、航空、化学工学などの分野で精力的に行なわれ、主に平板境界層を対象として多くの成果が得られて来た。<sup>1)</sup> その結果、摩擦速度の1割以内といふゆずかな流体の出入りによってポーラス乱流場は顕著な影響を受け、平均流特性値は不浸透層上のものから変化することが明らかにされたが、<sup>2)</sup> さらにその物理機構を解明することは乱れの発生の制御方法へつながる発展的命題と考える。平均流特性に関する研究に引きついで、本稿は、主にその乱れ特性に関して考察しようとしたものである。

## 2. 理論的考察

水流の出入り  $\bar{v}_t$  を境界条件に入れた2次元  
 湾木路乱流の運動方程式から次式が得られる。

$$\frac{-\bar{u}\bar{v}}{U_*^2} = (1 + \bar{v}_t^+ U^+) (1 - \frac{y}{R_*}) - \frac{dU^+}{dy^+} \quad (1)$$

ここで、 $U^+ = \bar{U}/U_*$ ,  $\bar{v}_t^+ = \bar{v}_t/U_*$ ,  $R_* = \frac{h\bar{U}_*}{D}$ ,  $y^+ = \frac{y\bar{U}_*}{D}$   
 平均流速  $U^+$  の分布が既知であれば、レイ  
 ルズたわみ分布が式(1)から得られる。筆者らは、  
 混合距離理論から  $U^+$  の実用式を提案し、実験

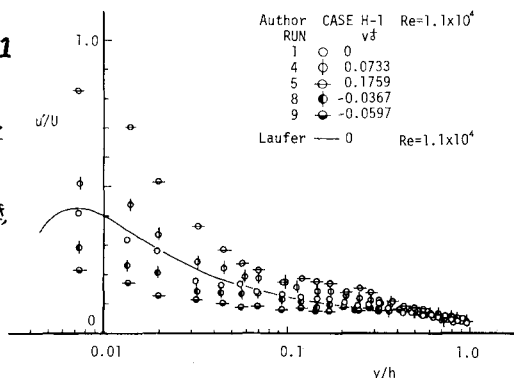


図・1 浸透層上のレイルズ応力の分布

値との良好な一致を示したが、<sup>2)</sup> これに van Driest の damping 因数を加味して得られた流化全域の流速分布を用いて、種々の  $\bar{v}_t^+$  に対する式(1)を計算した。その一例を図・1 の実線で示しているが、 $\bar{v}_t^+$  のゆずかな変化でも  $-\bar{u}\bar{v}/U_*^2$  は大幅に変化し、噴出し ( $\bar{v}_t^+ > 0$ ) で増加、吸込み ( $\bar{v}_t^+ < 0$ ) で減少しており、それらの強度が極端に大きくなるとそれぞれははく離及び再層流化現象へ移行するものと推測される。壁面近傍を除き  $-\bar{u}\bar{v}/U_*^2$  は  $\approx \frac{y}{h}$  ( $h$  は水深) に対してほぼ直線変化を示すから、 $-\bar{u}\bar{v}$  を実測すれば摩擦速度  $U_*$  を評価でき、乱れ特性を平均流特性値を直接介さずに考察できる。<sup>3)</sup>

## 3. 実験的考察

幅50cm、長さ15mの長方形断面直線木路の上流端から9mの下流の位置に、幅41cm、長さ95cm、厚さ1.5cmのポーラス板(粒径約0.7mmのポリスチレンの焼結板)を設置し、特別に設計されたタンクを通して一様な吸込み及び噴出しの実験を行なった。水深は8cmであり、乱れ計測器として1成分及び2成分熱膜流速計が、また  $\bar{v}_t^+$  の計測にはオリフィス計がそれを使われた。図・1に示される実測の  $-\bar{u}\bar{v}/U_*^2$  は、若干ばらつきはあるが、実線の計算曲線と良好に一致しており、先述の考察の妥当性を裏付けている。また、Dutton(1958)<sup>4)</sup> や Andersen(1975)<sup>5)</sup> の境界層流での実験値とも良い一致を示している。



図・2 相対乱れ強度の分布

図・2に、相対乱れ強度  $u'/U_*$  の実験値を示した。  $U_*=0$  すなはち不浸透層では、Laufel(1954)<sup>5)</sup>のパイロ流での値とよく一致するが、壁面近くでは噴出しが強くなると  $u'/U_*$  の値は非常に大きくなり乱れ強度は平均流速の大きさに匹敵するようになる。逆に、吸込みでは、小さくなつて、水深方向に一様化する傾向を示している。しかし、壁面から離れるにつれて  $u'/U_*$  の効果は弱くなり、自由水面領域では不浸透層上のものとはほぼ一致している。これらの特性から、噴出しによつて壁面領域の擾乱渦は激しく浮上し、乱れの発生が助長されるのに対して、吸込みでは逆に擾乱渦が吸込まれ、乱れの発生が抑制されるものと考えられる。図・3は、 $U_*$  で無次元化された乱れ強度を示したものである。噴出しひでは、摩擦速度は小さくなり(極端な場合が  $U_*=0$  すなはち、はく離現象である)、吸込みでは大きくなるから<sup>2)</sup>  $u'/U_*$  の分布は、図・2に比べて  $u'/U_*$  の影響を顕著に受けることになる。

すなはち、噴出しひでは  $u'/U_*$  の変化特性は急激であり、不浸透層上のものよりかなり大きく、特に主流部( $0.1 < y/h < 1.0$ )では著しい。

一方、吸込みでは、不浸透層上のものから系統的に小さくなつて、流れが主流方向にも均質化に向うものと考えられる。さて、不浸透層上で得られた指数型の普遍函数<sup>6)</sup>  $u'/U_* = A_0 \cdot e^{-\frac{y}{L_x}}$  を浸透層上の流れに拡張して実線で図示した。実験値には若干ばらつきが見られるが、(まづ)  $u'/U_* = A(U_*^+) \cdot e^{-\frac{y}{L_x}}$  で表示されており、このとき  $A(U_*^+) = A_0(1 + 0.93U_*^+)$ ,  $A_0 = 2.3$  であった。また、 $U_*/U_*^+$  及び  $w'/U_*$  でもこの普遍函数が良好に適用され、 $A_0$  の値をそれぞれ 1.27 及び 1.63 と取れば良く、 $u' > w' > v'$  という壁面乱れの特性が依然成立していることが明らかにされた。したがつて、水流の出入り率  $\beta^+$  が既知であれば、ポーラス乱流の特性は不浸透層のものからみる程度推測される。

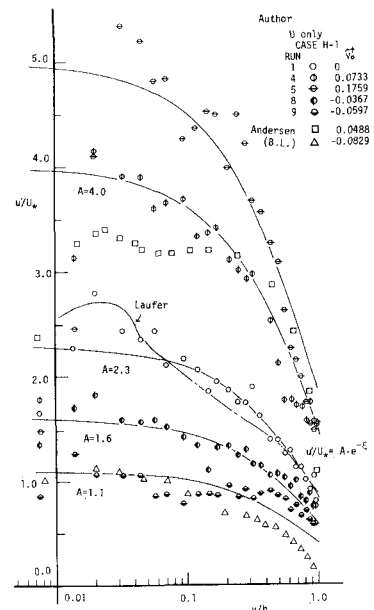
次に、F-F-T法(データ数 4096個)によつて波数スペクトル  $S(k)$  が解析されたが、壁面近傍ほど噴出しひ高波数成分が系統的に大きく、逆に吸込みでは小さくなる結果を得た。いま、平均渦径  $L_x$  で規準化した波数スペクトルの一例を図・4に示した。この無次元表示では、慣性領域まで  $\beta^+$  によらずにほぼ普遍的な特性を示し、不浸透層上での Kármán式  $S(k)/L_x = (\beta^+)^{-1} \cdot [1 + (k \cdot L_x / k_0 L_x)^2]^{-5/6}$ ,  $k_0 L_x = 0.82$  と良好に一致していることがわかつ、この式からエネルギー遮断率が容易に評価される。<sup>7)</sup>しかし、粘性領域に移ると吸込みほど  $S(k)/L_x$  は若干小さく、 $\beta^+$  の影響を依然として受けることがわかつ。図・5は、 $L_x/h$  の実験値を示したものであり、壁面近くでは噴出しひ渦径は小さくなることがわかる。この特性はミクロ・スケールでも同様であつて、噴出しひ壁面近傍の小さな渦が浮上し、乱れが発生しやすくなるのに対し、吸込みでは水面近くの大きな渦が寄寄せられるものと考えられ、今後流れの可視化法からこれらの物理機構を追究して行きたい。

### 参考文献

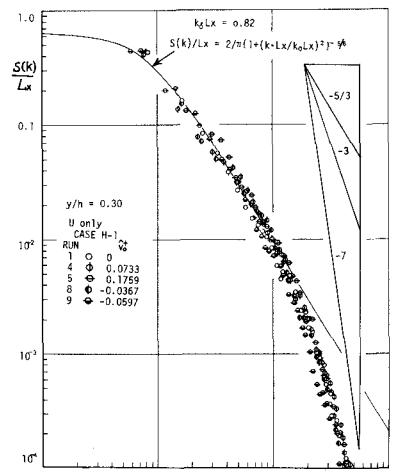
1) Kay, Int.J. Heat Mass Transfer, 1971, vol. 15. 2) 中川5, 土木学会論文誌, 1976, II-30.

3) Andersen, et.al., J.F.M., 1975, vol. 69. 4) Dutton, A.R.C., 1958, R. & M., No. 3155.

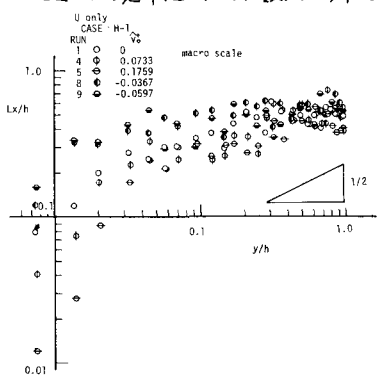
5) Laufer, NACA, 1954, TR174. 6) 林5, 土木学会論文誌, 1975, II-30. 7) Nakagawa, et.al., Proc. JSCE, 1975, No. 241.



図・3 乱れ強度分布



図・4 規準化された波数スペクトル



図・5 平均渦径